

TITLE PAGE

24. Katalytische Verarbeitung schwerer Öle mit Kontakt
7360. 3. Wasserstoffverbrauch bei der Verarbeitung
von Eishagener Ölrückstand).

Catalytic treatment of heavy oil with contact
7360. 3. Hydrogen consumption in the treatment
of Niehhagen oil residue.

Frame Nos. 203 - 209

1. Februar 1941. Nr. 000203

15. Januar 1941. Pf.

Hochdruckversuchs

Witz/Lu 558

Stt.
W.

(2) Katalytische Verarbeitung schwerer Öle mit Kontakt 7360.

3. Wasserstoffverbrauch bei der Verarbeitung von
Nienhagener Ölrückstand 1).

Zusammenfassung.

Die Spaltung von Nienhagener Erdölrückstand im geraden Durchgang über Kontakt 7360, über die schon eingehend berichtet wurde und die bei Temperaturen zwischen 460 und 510° bei verschiedenem Wasserstoffdruck bis zu 95 % Benzin + Mittelöl im flüssigen Anfall lieferte, verläuft im untersuchten Bereich im allgemeinen unter Wasserstoffverbrauch. Der Wasserstoffverbrauch beträgt je nach den Versuchsbedingungen bis zu 200 Ltr. pro kg verarbeitetes Öl. Mit steigender Temperatur und fallendem Druck wird er kleiner und schneidet bei etwa 510° und 25 atm Druck die Nulllinie.

Nienhagener Erdölrückstand 350°C wurde im geraden Durchgang über Kontakt 7360 bei Wasserstoffdrücken von 25, 50 und 100 atm unter jeweiliger Variation der Temperatur zwischen 24 und 27 mV gespalten. Über die Hauptergebnisse dieser Versuche wurde schon in Teil 2 berichtet. Nachtragend sind in der angehängten Tabelle I noch die Elementaranalysen des flüssigen Anfalls bei den verschiedenen Fahrweisen sowie die Bestimmungen von C und H, Verbrennungswärme und Heizwert des Schweröls 350°C im flüssigen Anfall mitgeteilt.

1) Sonstige Ergebnisse bei der Verarbeitung von Nienhagener Öl-
rückstand vgl. Teil 1 (Ber. 17 8591 vor Dr. Beitz).

Aus dem Vergleich der Elementaranalyse des Ausgangsöles erkennt man, daß der Wasserstoffgehalt im flüssigen Anfall unter den scharferen Fahrbedingungen abgenommen, unter den milderden Bedingungen dagegen angestiegen ist¹⁾, und daß die gleichzeitig mit der Spaltung eingetretene Raffination sowohl mit dem Wasserstoffdruck als auch mit der Temperatur zunimmt und insbesondere unter den früher als günstig erkannten Fahrbedingungen (100 atm, 25 mV = 475°, Durchsatz 1 kg/Ltr. Std.) recht gut ist (H etwa 0,05 %; S etwa 0,03 %; O etwa 0,2 %).

Der Rückstand > 350°, der, wie früher gezeigt wurde, gegenüber dem Ausgangsöl eine erheblich verbesserte Vakuumsiedekurve aufweist, ist von der mildesten Fahrweise (100 atm, 24 mV) abgesehen, stets wasserstoffärmer als dieses. Diese Dehydrierung des Schweröles ist bei 27 mV recht erheblich (7,7 und 8,3 % C gegenüber 11,8 im Ausgangsöl) und bringt eine erhebliche Abnahme des Heizwertes bei der Hochtemperaturfahrweise mit sich¹⁾. Die Änderung des Wasserstoffdruckes äußert sich im H-Gehalt des Rückstandes/stark.

Wasserstoffbilanz bei den verschiedenen Fahrweisen: Aus den C- und H-Bestimmungen sowie aus dem mittleren C der Vergasung läßt sich die Wasserstoffbilanz bei der Spaltung aufstellen. Für den Koks wurde der Rechnung dabei eine Zusammensetzung von 92 Gew.-% C und 8 % H zugrunde gelegt²⁾. Es ergibt sich ein Wasserstoffverbrauch, der je nach der Fahrweise bis zu 2 g für 100 g C im Ausgangsöl bzw. bis zu etwa 200 Ltr. (bei Atm-Druck und 20°) je kg verarbeitetes Öl beträgt. Unter den schärfsten Fahrbedingungen (27 mV, 25 atm) wird der Wasserstoffverbrauch praktisch Null.

1) vgl. auch Kurvenblatt 1.

2) Bei einer Annahme 93 : 7 würde je kg Koks nur ca. 1 Ltr. H₂ pro kg weniger verbraucht.

Auf Kurvenblatt 1 ist der Wasserstoffverbrauch in seiner Abhängigkeit sowohl vom Wasserstoffdruck als auch von der Temperatur dargestellt. (Die Abhängigkeit vom Durchsatz ist z.T. ersichtlich.) Schließlich ist noch in Tabelle 2 sowie auf Kurvenblatt 2 die Aufteilung des Wasserstoffs im Gesamtanfall, bezogen auf 100 g C im Ausgangsöl (\approx 100 g C im Gesamtanfall), auf Gas einschließlich Gasbenzin, flüssigen Anfall einschließlich darin gelösten Gas, Koks und Raffinationsverbrauch (H_2O , NH_3 , H_2S) wiedergegeben, wie sie sich bei der Bilanzierung ergibt.

Gemeinsam mit

Dr. Cettinger

gez. Reitz

" Hohenmacher

" Donath

" Schiffmann

" Maier

Anlagen: 2 Tabellen,
2 Kurvenblätter.

000206

Datum 1940		26.10.	28.10.	
Druck atm.		25	25	
Durchsatz kg/Ltr.u.Std.		0,5	0,5	
Temperatur mV		24	25,5	
Gewichts-% v. Gesamtanfall	Ausgangs-			
Gas 1)	material	8,5	13,0	
Flüssiger Anfall 2)	P 1393	82,5	75,0	
(Davon Rückst. > 350°)	> 350° (Mischung, Erdölrück- stand)	31,0	10,3	
Koks		9,0	(12,0)	
Gas 1); Mittlores 0		1,89	2,1	
Flüssiger Anfall 2)				
% C	65,93	66,63	87,28	
% H	11,84	12,55	11,86	
% O	0,75	0,60	0,70	
% N	0,26	0,09	0,07	
% S	1,17	0,21	0,09	
Rückstand > 350°				
% C	87,86	89,70		
% H	11,30	10,25		
Verbrunnungswärme cal	10 540	10 300		
Heizwert cal	9 925	9 746		
Gewichts-% v. Gesamtanfall				
C im Gas	6,7	10,45		
C im flüssigen Anfall	71,5	65,5		
C im Koks 3)	8,3	(11,05)		
Gesamt-C	86,5	87,0		
H im Gas	1,74	2,56		
H im flüssigen Anfall	10,35	8,90		
(H im Rückstand > 350°)	(3,52)	(1,06		
H im Koks 3)	0,72	(0,96)		
H für Raffination (O,N,S)	0,09	0,08		
Gesamt - H	12,90	12,50		
Gesamt-H auf 100 C	13,76	14,91	14,36	
EH-Verbrauch für 100 g C		1,15	0,60	
H ₂ -Verbrauch in Ltr. 4)				
pro kg Einspritzung	20	62,1		

1) + Gasbenzin ohne gelöstes Gas

2) + gelöstes Gas ohne Gasbenzin

3) berechnet mit einer Zusammensetzung des Kokses von 92% C + 8% H

4) bei atm Druck bei 20° C

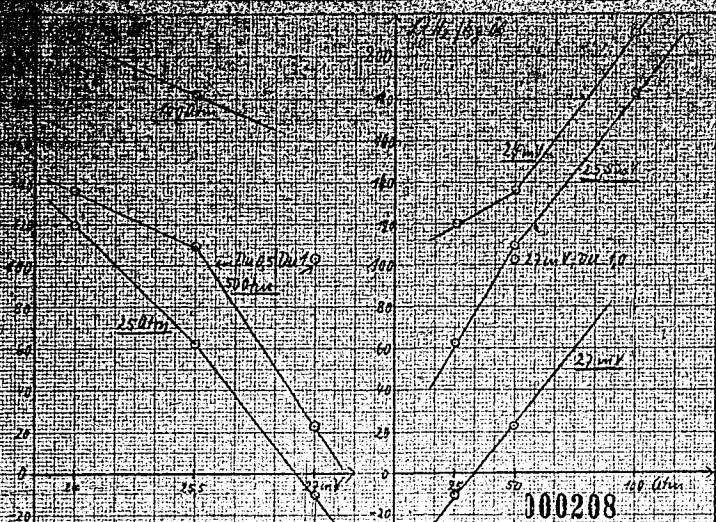
Tabelle 1.

10.	2.+4.11.	21.10.	29./30.10.	6./7.11.	8.11.	31.10.	5.11.
5	25	50	50	50	50	100	100
5	0,5	0,5	0,5	0,5	1,0	0,5	0,5
5,5	27	24	25,5	27	27	24	25,5
<hr/>							
3,0	15,3	6,7	12,2	14,0	13,7	9,4	15,4
5,0	69,1	89,9	77,7	75,0	75,3	89,2	76,6
3,3	11,5	33,9	13,7	8,6	16,7	16,5	3,5
2,0	15,6	3,4	10,1	13,0	11,0	1,4	7,9
<hr/>							
2,1	2,1	1,8	2,2	2,1	2,1	2,1	2,1
<hr/>							
.28	88,20	87,39	87,47	88,00	87,47	86,86	87,16
.86	11,01	12,55	12,33	11,50	12,26	12,90	12,53
.70	0,66	0,00	0,14	0,44	0,06	0,12	0,26
.07	0,04	0,12	0,02	0,02	0,07	0,09	0,03
.09	0,09	0,07	0,04	0,04	0,14	0,03	0,02
<hr/>							
.70	91,03	87,98	89,66	91,93	89,46	86,89	89,99
.25	8,33	11,82	9,61	7,67	10,15	12,03	9,98
300	10 035	10 575	10 211	9 884	10 311	10 733	10 265
746	9 585	9 937	9 693	9 450	9 763	10 083	9 727
<hr/>							
.45	12,5	5,35	10,2	11,3	11,0	7,6	12,3
.5	61,0	78,6	67,9	64,2	65,8	77,5	66,8
.05)	14,4	3,1	9,3	11,95	10,2	1,3	7,3
<hr/>							
.0	87,7	87,05	87,4	87,45	87,0	86,4	86,4
.56	3,02	1,37	2,38	2,75	2,70	1,85	3,03
.90	7,61	11,30	9,58	8,38	9,23	11,51	9,60
.06	(0,96)	(4,01)	(1,32)	(0,67)	(1,69)	(1,99)	(0,35)
.96)	1,25	0,27	0,81	1,04	0,88	0,11	0,63
.08	0,09	0,17	0,16	0,05	0,02	0,16	0,14
<hr/>							
.50	11,97	13,11	12,95	12,22	12,83	13,63	13,40
.36	13,66	15,07	14,81	13,98	14,75	15,79	15,92
.60	-0,10	1,31	1,05	0,22	0,99	2,03	1,76
<hr/>							
.	-10	136	109	23	103	217	183

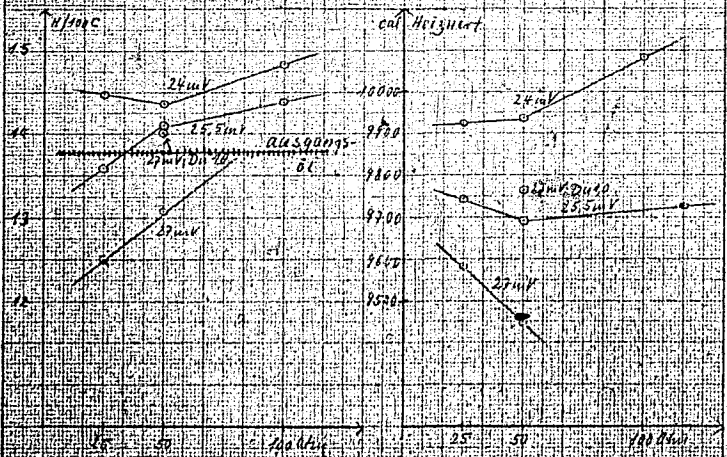
000207

Tabelle 2.

Druck atm.	25	25	25	50	50	50	50	100	100
Durchsatz kg/Ltr. Std.	0,5	0,5	0,5	0,5	0,5	0,5	1,0	0,5	0,5
Temp. mV	24	25,5	27	24	25,5	27	27	24	25,5
H auf 100 °C im Gesamtauffall									
H im Gas	2,01	2,94	3,44	1,57	2,72	3,14	3,10	2,14	3,51
H im flüssig Anfall	11,96	10,23	8,68	12,97	10,96	9,58	10,60	13,33	11,12
(H im Rückst. >350°)	(4,07	(1,22)	(1,10)	(4,60)	(1,51)	(0,77)	(1,94)	(2,31)	(0,40)
H im Koksb	0,83	1,10	1,43	0,31	0,93	1,19	1,01	0,13	0,73
H für Raffi- nation(O,H,S)	0,10	0,09	0,10	0,20	0,18	0,06	0,02	0,18	0,16
Gesamt - H	14,91	14,36	13,66	15,07	14,81	13,98	14,75	15,79	15,52
H auf 100 °C im flüssigen An- fall	14,49	13,60	12,49	14,07	14,10	13,08	14,02	14,84	14,38



* H_2 -Verbrauch in Lit [100 km, 20°C] pro kg Einspritzöl
in Abhängigkeit von Temperatur (links) u. Druck (rechts)



Efficiency G im flüssigen Anfall Heizwert des Rückstandes
in Abhängigkeit vom Druck

100209

Röhr

G. Farbenindustrie Aktiengesellschaft
Ludwigshafen a. Rhin.

Blatt 2

